• 基础研究 •

基于 NF-κB 通路的芒果苷干预脂多糖诱导的 细胞炎症作用机制研究

雷莉妍1 王瑞成2 周 瑞1 唐志书1 宋忠兴1 李蕊萍3

摘要 目的 研究芒果苷对小鼠巨噬细胞 RAW 264.7 的保护作用,并探讨其可能的作用机制。方法 采用脂多糖(LPS)诱导RAW 264.7细胞炎症模型。实验分四步:(1)细胞存活率实验分5组,即:空白组、 LPS 组、LPS + 不同浓度(50、100、150 μg/mL)芒果苷组。MTT 法检测细胞存活率。(2)一氧化氮(NO)、 白介素 1β(IL-1β)、肿瘤坏死因子 α(TNF-α)及白介素 6(IL-6)分泌实验分 6 组,即:空白组、LPS 组、LPS 和不同浓度芒果苷(50、100、150 μg/mL)组、LPS + BAY 11-7082 Г核因子 кВ(NF-кВ)抑制剂]组。 Griess 法检测 NO 分泌量, ELISA 法检测 IL-1β、TNF-α 及 IL-6 分泌量。(3)诱导型一氧化氮合酶(iNOS) 与环氧化酶-2(COX-2)mRNA 及蛋白表达实验分组同细胞存活率实验。实时荧光定量 PCR 检测 iNOS 及 COX-2 mRNA 水平变化, Western blot 检测 iNOS 及 COX-2 蛋白表达水平。(4)细胞质、细胞核中 NF-κB 表达实验分3组,即:空白组、LPS组、LPS+150μq/mL(终末浓度)芒果苷共处理组, Western blot 检测细 胞质、细胞核中 NF-κB p65 蛋白表达量。结果 (1)与空白组比较,LPS 组显著降低 RAW264.7 细胞存活 率(P<0.05);与 LPS 组比较,50~150 μq/mL 芒果苷预处理对 RAW264.7 细胞增殖无显著影响(P> 0.05)。(2)与空白组比较,LPS 组 NO、IL-1β、TNF-α、IL-6 分泌量显著升高 (P < 0.05);与 LPS 组比较,除 50 μg/mL 芒果苷预处理组 NO、TNF-α 分泌量无显著变化外 (P > 0.05),其余各组 NO、IL-1β、TNF-α、IL-6 分泌量均显著降低(P<0.05)。(3)与空白组比较,LPS组iNOS、COX-2mRNA及蛋白表达量均显著升高 (P<0.05);与 LPS 组比较,50~150 μq/mL 芒果苷预处理组 iNOS、COX-2 mRNA 及蛋白表达显著下降 (P<0.05)。(4)与空白组比较, LPS 组细胞质中 NF-κB p65 蛋白量减少, 细胞核中则增多(P<0.05); 与 LPS 组比较,150 μq/mL 芒果苷预处理组细胞质中 NF-κB p65 蛋白量升高,细胞核中蛋白量减少(P< 0.05)。结论 芒果苷可能通过抑制 NF-κB 信号通路,而抑制iNOS、COX-2表达及相关炎症因子的分泌,干 预 LPS 诱导的 RAW264.7 细胞炎症。

关键词 芒果苷: 脂多糖: 炎症: 核因子 κB 通路

Mechanism of Mangiferin for Intervening Lipopolysaccharide Induced Inflammation in RAW264.7 Cells Based on NF-κB Pathway LEI Li-yan¹, WANG Rui-cheng², ZHOU Rui¹, TANG Zhi-shu¹, SONG Zhong-xing¹, and LI Rui-ping³ 1 Shaanxi University of Chinese Medicine, Shaanxi Collaborative Innovation Center of Chinese Medicinal Resources Industrialization, Shaanxi Province Key Laboratory of New Drugs and Chinese Medicine Foundation Research, Shaanxi (712083); 2 Department of Gynecology, Affiliated Hospital to Shaanxi University of Chinese Medicine, Shaanxi (712000); 3 Department of Rehabilitive Medicine, Weinan First Hospital, Shaanxi (714000)

ABSTRACT Objective To study the protective effect and mechanism of mangiferin on inflammation induced by lipopolysaccharide (LPS) in RAW264.7 cells. Methods RAW264.7 cell inflammation model was induced by LPS. The experiment was divided into four steps: (1) Cell viability experiment was

基金项目:国家自然科学基金资助项目(No. 81603357); 陕西省自然科学基础研究项目(No. 2017JQ8043); 陕西省教育厅科研基金项目(No. 16JK1222); 陕西中医药大学科研基金项目(No. 2017QN21)

作者单位: 1. 陕西中医药大学/陕西省中药资源产业化协同创新中心,陕西省中药基础与新药研究重点实验室(陕西 712083); 2. 陕西中医药大学附属医院妇科(陕西 712000); 3. 陕西省渭南市第一医院康复医学科(陕西 714000)

通讯作者: 雷莉妍, Tel: 029 -38182205, E-mail: liyanlei-2005@163.com

DOI: 10. 7661/j. cjim. 20190116. 096

conducted, RAW264, 7 cells were divided into 5 groups, i.e., blank group, LPS group, LPS + different concentrations (50, 100, 150 μg/mL) manajferin groups. The cell viability was measured by MTT assay. (2) Nitric oxide (NO), IL-1B, tumor necrosis factor alpha (TNF- α), and IL-6 secretion experiments were conducted. Cells were divided into 6 groups, i.e., blank group, LPS treatment group, LPS + different concentrations of mangiferin (50, 100, 150 μg/mL) groups, LPS + BAY 11-7082 (NF-κB inhibitor) group, Detection of NO secretion was detected by Griess assay, and the secretions of IL-1β, TNF-α, and IL-6 were detected by ELISA. (3) Inducible nitric oxide synthase (iNOS) and cyclooxygenase-2 (COX-2) mRNA and protein expression experiments were conducted. The groups were divided in the same way as that in the cell viability experiments. Real-time quantitative PCR was used to detect the changes of iNOS and COX-2 mRNA levels. And the expression levels of iNOS and COX-2 protein were detected by Western blot. (4) The expressions of nuclear factor-kappaB (NF-κB) in cytoplasm and nucleus were detected. The cells were divided into three groups, i.e., blank group, LPS treatment group, LPS +150 μg/mL (final concentration) mangiferin co-treatment group. The expressions of NF-kB p65 protein in cytoplasm and nucleus were detected by Western blot, Results (1) Compared with the blank group, the survival rate of RAW264.7 cells was significantly reduced in the LPS group (P < 0.05). Compared with the LPS group, 50 -150 μg/mL mangiferin pretreatment had no significant effect on the proliferation of RAW264.7 cells (P > 0.05). (2) Compared with the blank group, the secretion levels of NO, IL-1 β , TNF- α , and IL-6 were significantly increased in the LPS group (P < 0.05). Compared with the LPS group, the secretion levels of NO and TNF- α in the 50 µg/mL mangiferin pretreatment group had no significant changes (P > 0.05), but the secretion of NO, IL-1 β , TNF- α , and IL-6 significantly decreased in the rest groups (P < 0.05). (3) Compared with the blank group, the expression levels of iNOS and COX-2 mRNA and protein were significantly increased in the LPS group (P < 0.05). Compared with the LPS group, pretreatment with 50 – 150 μg/mL mangiferin reduced iNOS and COX-2 mRNA and protein expression levels (P < 0.05). (4) Compared with the blank group, the NF-κB p65 protein was significantly decreased in the cytoplasm and increased in the nucleus in the LPS group (P < 0.05). Compared with the LPS group, 150 μg/mL mangiferin pretreatment increased the NF- κ B p65 protein in the cytoplasm, and decreased it in the nucleus (P <0.05). Conclusion Mangiferin intervened LPS-induced RAW 264.7 cell inflammation possibly by inhibiting NF-κB signaling pathway, thus further inhibiting the expression levels of iNOS/COX-2 and the secretion of related inflammatory factors.

KEYWORDS mangiferin; lipopolysaccharide; inflammation; nuclear factor-κB pathway

芒果苷是从知母中提取出来的一种黄酮类化合物,具有多种药理活性,如止咳、平喘 $^{[1,2]}$ 、抗菌 $^{[3]}$ 、抗炎 $^{[4]}$ 、抗氧化 $^{[5]}$ 、降血糖 $^{[6]}$ 等。炎症是机体对致炎性因素的一种应答性反应,人类大多数疾病都与炎症有着密切的联系,如心血管疾病 $^{[7]}$ 、糖尿病 $^{[8]}$ 、癌症 $^{[9]}$ 等。在脂多糖(lipopolysaccharide, LPS)诱导的炎症过程中,核转录因子 κB(nuclear factor-κB, NF-κB)及丝裂原活化蛋白激酶(mitogen-activated protein kinases,MAPKs)是两条重要的信号通路。一般情况下,未激活的 NF-κB 与其抑制因子 NF-κB 抑制蛋白(inhibitor of NF-κB, lκB)结合在一起,以无活性的形式存在于细胞质中。当受到 LPS 刺激后,NF-κB 会被激活,与 lκB 蛋白分离,NF-κB p65 亚基由细胞浆中移位至细胞核中,进而调节下游靶基因的

转录和表达,包括 IL-1β、TNF-α、诱导型一氧化氮合酶 (iNOS)及 COX-2 等^[10]。BAY11-7082 是一种 NF-κB 通路抑制剂,能抑制一些细胞因子诱导的 IκBα 的磷酸化,从而抑制 IκBα 降解和随后的 NF-κB 核转运,最终抑制依赖于 NF-κB 的基因转录^[11]。研究显示,芒果苷具有显著的抗炎作用^[12],因此本实验拟探讨芒果苷对 LPS 诱导的小鼠巨噬细胞 RAW264.7 凋亡的影响,并对其作用机制进行探讨。

材料与方法

- 1 细胞株 小鼠巨噬细胞 RAW264.7 购自中国科学院上海生科院细胞资源中心,资源编号: 3131C0001000800013。
 - 2 药物 芒果苷标准品(中国食品药品检定研

究院,批号:111607-201704,纯度:98.1%)。

3 试剂与仪器 LPS(美国 Sigma Aldrich 公 司,批号:015M4077V); RPMI-1640 培养基(美国 Hyclone 公司, 批号: AD17321264): 胎牛血清(以色 列 Biological Industries 公司,批号:1741844);胰蛋 白酶(以色列 Biological Industries 公司. 批号: 0035017);青霉素/链霉素双抗(北京索莱宝公司,批 号: AD20170804); NF-κB p65 一抗、iNOS 一抗、 COX-2 一抗及辣根过氧化物酶标记的抗兔二抗(批号 分别为:8、5、9、26) 均购自美国 Cell Signaling Technology 公司;β-actin 一抗、组蛋白 H3 一抗及细胞核 蛋白与细胞浆蛋白抽提试剂盒(批号分别为:AA128、 AF0009、P0028)均购自碧云天生物技术研究所;逆 转录试剂盒(批号: M20100)和 qPCR 试剂盒(批号: M30510)购自北京全式金生物科技有限公司;总 RNA 柱式抽提试剂盒(上海生物工程股份有限公司, 批号: D714KA6099): ECL 化学发光试剂盒(美国 Bio-Rad 公司, 货号: 1705062S)。311 型细胞培养 箱(美国 Thermo 公司),SW-CJ-2FD 型超净工作台 (苏净集团安泰公司), DSZ2000X 型倒置显微镜(重 庆澳浦光电技术有限公司), LD5-2A 型低速离心机 (北京雷博尔医疗器械有限公司), HH-4 数显恒温水 浴锅(江苏省金坛市荣华仪器制造有限公司), Thermo Multiskan GO 多功能酶标仪(美国Thermo 公司), ChemiDoc XRS + 化学发光 XRS + (美国 Bio-bad公司)。

4 方法

- 4.1 细胞存活率 采用 MTT 法检测。细胞分组为:空白对照组、LPS 处理组、LPS + 不同浓度芒果苷(50、100、150 μg/mL) 共处理组。取对数生长期的RAW264.7 细胞以 1 × 10⁵ 个/每孔的密度接种于96 孔板中,细胞贴壁 4 ~ 6 h,每组设置 3 个复孔。用不同浓度的芒果苷预处理细胞 1 h,空白对照组和LPS 处理组加入相同体积的空白培养基。随后每孔加入 1 μg/mL LPS 处理细胞 24 h。在细胞培养结束前 4 h,每孔加入 15 μL MTT。细胞培养结束后,吸去细胞上清,每孔加入 150 μL 二甲基亚砜,37 ℃孵育10 min,用全波长酶标仪检测 450 nm 处的光密度值。细胞相对存活率(%)=(给药组平均光密度值—空白孔平均光密度值)/(空白对照组平均光密度值—空白孔平均光密度值)×100%,空白孔为只加培养液、MTT、DMSO 孔。
- 4.2 NO、IL-1β、IL-6、TNF-α 生成水平 采用 Griess 法检测 NO 浓度, ELISA 法检测 IL-1β、IL-6、

 TNF - α 浓度。细胞分组为:空白对照组、LPS 处理组、 LPS + 不同浓度芒果苷(50、100、150 µg/mL)共处理 组、LPS + BAY 11-7082 (NF-κB 抑制剂) 共处理组。 RAW264.7 细胞以 2×10⁶个/每孔的密度接种干 6 孔 板中,细胞贴壁后用不同浓度的芒果苷或 BAY 11-7082 预处理 1 h, 随后每孔加入 1 μg/mL LPS 处理细 胞 24 h。吸取 50 μL 上清至新的 96 孔板中用于 NO 浓度检测, 随后每孔加入50 µL 磺胺试剂, 避光孵育 5 min后,每孔再加入 50 μL N-1-萘基乙烯基二胺试 剂.用酶标仪检测 545 nm 的吸光度值。另分别各取 100 μ L上清液至 IL-1 β 、IL-6、TNF- α 抗体预包被酶标板 中,37 ℃孵育90 min,洗涤液洗板5次。随后每孔加入 100 μL 的生物素化抗体工作液,37 ℃孵育60 min,洗 涤液洗板 5 次。每孔加入酶结合物工作液 100 μL, 37 ℃孵育 30 min,洗涤液洗板 5 次。每孔加入 100 μL 显色底物,避光 37 ℃ 孵育 15 min。每孔加入 100 μL 终止液,混匀后立即测量 450 nm 处的光密度值。

4.3 iNOS、COX-2 mRNA 水平 采用实时荧光 定量 PCR 检测。细胞分组为:空白对照组、LPS 处理组、LPS +不同浓度芒果苷(50、100、150 μ g/mL) 共处 理组。RAW264.7 细胞接种于 6 孔板中,药物处理方 法同 4.1。采用总 RNA 提取试剂盒提取细胞总 RNA,反转录制备 cDNA,以 cDNA 为模板,加入目的基因引物,进行目的基因的扩增。本实验用引物见表 1, β -actin 引物购自上海生物工程股份有限公司(B662302)。 荧光定量检测采用程序具体参数为: 94 $^{\circ}$ 30 s; 94 $^{\circ}$ 5 s;60 $^{\circ}$ 15 s;72 $^{\circ}$ 10 s,荧光检测,重复 2 $^{\circ}$ 4 步骤 40 个循环;溶解曲线,测出每组的 Ct 值,并计算每个基因的相对表达量,计算公式为:基因相对表达量 = $2^{-(\Delta Ct \Pi D E B T)}$,其中 ΔCt = Ct 实验组 - Ct 空白对照组。

表1 引物序列表

基因名称	引物序列	引物长度(bp)
COX-2	F:5'-CCACTTCAAGGGAGTCTGGA-3'	20
	R:5'-AGTCATCTGCTACGGGAGGA-3'	20
iNOS	F:5'-CCTGCTTTGTGCGAAGTGTC-3'	20
	R:5'-CCCAAACACCAAGCTCATGC-3'	20

4.4 iNOS、COX-2 蛋白表达水平 Western blot 法检测蛋白表达量。iNOS、COX-2 蛋白检测时,细胞分组及药物处理方法同 4.3。收集处理细胞,经RIPA 裂解液裂解细胞,12 000 r/min 离心 10 min,取上清用于蛋白检测。BCA 蛋白检测试剂盒检测总蛋白浓度。蛋白样品经 SDS-PAGE 电泳分离后,转移至 PVDF 膜上,并于 37 ℃用脱脂牛奶封闭膜 1 h。

用 TBST 以 1:1 000 稀释一抗,于 4 \mathbb{C} 孵育 PVDF 膜 过夜。用 TBST 溶液将膜清洗 3 次。再用 TBST 稀释 的二抗溶液于 37 \mathbb{C} 孵育 PVDF 膜 1 h,随后用 TBST 洗膜 3 次,并采用 ECL 法进行显色。

- 4.5 细胞质、细胞核中 NF-κB p65 蛋白水平 Western blot 法检测蛋白量。细胞分为 3 组:空白对 照组、LPS 处理组、LPS + 150 μg/mL(终末浓度) 芒果苷共处理组。RAW264.7 细胞接种于 6 孔板中,细胞贴壁后用 150 μg/mL 芒果苷预处理 1 h,随后每孔加入 1 μg/mL LPS 处理细胞 24 h。采用细胞核蛋白与细胞浆蛋白抽提试剂盒分离并提取 RAW264.7 细胞核及细胞浆蛋白。蛋白浓度测定及 Western blot 方法同 4.4。
- 5 统计学方法 采用 SPSS 16.0 对数据进行分析。所有数据均为 3 次独立实验结果,数据以 $\bar{x}\pm s$ 表示。多组间的比较采用单因素方差分析,方差齐性时多组间两两比较采用 LSD 法;方差不齐时多组间两两比较采用 Dunnett's T3 法。P<0.05 为差异有统计学意义。

结 果

- 1 各组细胞存活率比较(表 2) 与空白组比较, LPS 组细胞相对存活率下降,差异有统计学意义 (*P* < 0.05)。50、100、150 μg/mL 芒果苷预处理组细胞相 对存活率与 LPS 组比较,差异无统计学意义(*P* > 0.05)。
- 2 各组 NO、IL-1β、IL-6、TNF-α 水平比较(表 3) 与空白组比较,LPS 组 NO、IL-1β、TNF-α、IL-6 的分泌增加,差异均有统计学意义(*P* < 0.05)。与 LPS 组

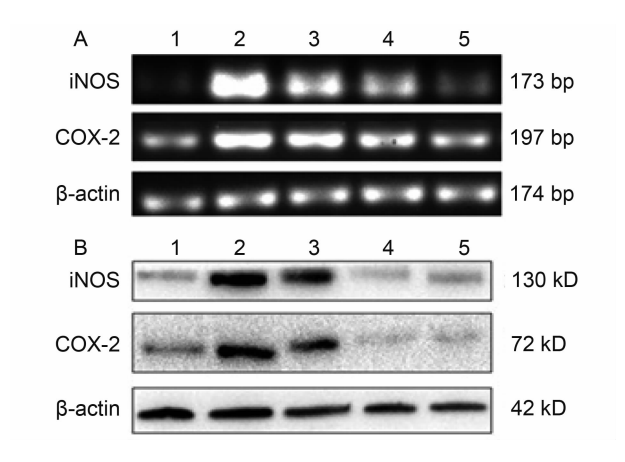
表 2 各组细胞存活比较 (%, $\bar{x} \pm s$)

组别	n	细胞相对存活率
空白	3	100.00 ± 0.98
LPS	3	83.38 \pm 4.47 *
LPS +50 μg/mL 芒果苷	3	82.17 ± 4.45
LPS +100 μg/mL 芒果苷	3	83.37 ± 2.38
_LPS +150 μg/mL 芒果苷	3	84.30 ±4.62

注:与空白组比较,*P<0.05

比较,50 μg/mL 芒果苷预处理组 IL-1β、IL-6 分泌显著下降(P < 0.05),但 NO、TNF-α 分泌量无显著变化 (P > 0.05);100、150 μg/mL 芒果苷预处理组、BAY11 – 7082 预处理组 NO、IL-1β、IL-6、TNF-α 分泌量均降低(P < 0.05)。

3 各组 iNOS、COX-2 mRNA 及蛋白表达水平 比较(图 1,表4) LPS 组 iNOS、COX-2 mRNA 及蛋



注:A 为 DNA 电泳;B 为蛋白电泳; 1 为空白组;2 为 LPS 组;3 为 LPS +50 μ g/mL 芒果苷组;4 为 LPS +100 μ g/mL 芒果苷组;5 为 LPS +150 μ g/mL 芒果苷组

图 1 各组 iNOS、COX-2 mRNA 及蛋白表达水平比较

表3 各组 NO、IL-1β、TNF- α 、IL-6 水平比较 ($\bar{x} \pm s$)

	• • •	H : 11 - 1		- /	
组别	n	$NO(\mu mol/\!L)$	$IL\text{-}1\beta(pg/mL)$	$TNF\text{-}\alpha(pg/mL)$	IL-6 (pg/mL)
空白	3	1.27 ± 0.76	51.77 ± 15.83	305.41 ± 12.22	42.37 ± 2.54
LPS	3	$31.42 \pm 2.59^*$	$272.21 \pm 27.45^{*}$	1 204.26 ± 23.88*	$314.68 \pm 38.26^*$
LPS +50 μg/mL 芒果苷	3	27.35 ± 3.39	185.98 \pm 37.44 $^{\triangle}$	949.52 ± 136.76	253.84 \pm 35.81 $^{\triangle}$
LPS +100 μg/mL 芒果苷	3	14.79 ± 1.97 $^{\triangle}$	152.81 \pm 22.34 $^{\triangle}$	680.27 \pm 13.29 $^{\triangle}$	205.83 \pm 50.89 $^{\triangle}$
LPS +150 μg/mL 芒果苷	3	9.18 ± 3.03 $^{\triangle}$	95.59 \pm 32.36 $^{\triangle}$	490.52 \pm 70.49 $^{\triangle}$	59.11 \pm 15.20 $^{\triangle}$
LPS +10 μmol/L BAY11-7082	3	5.17 \pm 2.21 $^{\triangle}$	82.10 \pm 19.40 $^{\triangle}$	343.77 \pm 35.89 $^{\triangle}$	78.85 \pm 18.73 $^{\triangle}$

注:与空自组比较,*P<0.05;与LPS组比较,△P<0.05

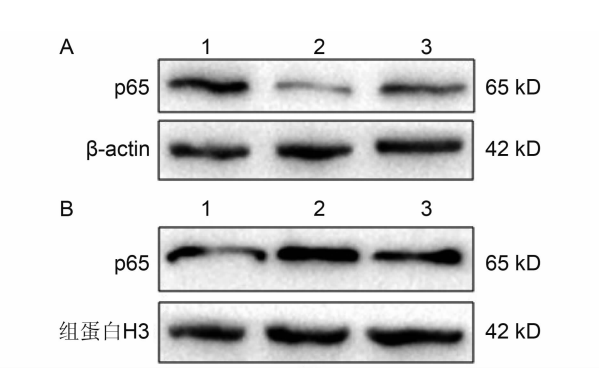
表 4 各组 iNOS、COX-2 mRNA 及蛋白表达水平比较 $(\bar{x} \pm s)$

组别	n	iNOS		COX-2	
组 剂		mRNA	蛋白	mRNA	蛋白
空白	3	0.97 ±0.09	1.07 ± 0.05	1.03 ± 0.08	0.97 ± 0.04
LPS	3	3.19 ± 0.10 *	3.46 ±0.06 *	1.71 ± 0.05 *	1.85 ± 0.05 *
LPS ±50 μg/mL 芒果苷	3	2.62 ± 0.06 [△]	2.90 ± 0.09 ^Δ	1.67 ≝0.07 △	1.67 ± 0.06
LPS ± 100 μg/mL 芒果苷	3 4	2.26 ± 0.12 [△]	1.45 ± 0.06 [△]	1.34 ± 0.04 $^{\triangle}$	1.19 ± 0.04 ^Δ
LPS ±150 μg/mL 芒果苷	3	1.62 ± 0.07 ^Δ	1.21 ±0.05 [△]	1.12 ± 0.15 [△]	1.13 ±0.07 [△]

注:与空白组比较,*P<0.05;与LPS组比较,△P<0.05

白表达均提高,与空白组比较差异有统计学意义(P < 0.05)。与 LPS 组比较,50、100、150 μ g/mL 芒果苷预处理后,各组 iNOS、COX-2 mRNA 及蛋白表达水平均降低,差异有统计学意义(P < 0.05)。

4 各组细胞质、细胞核中 NF-κB p65 蛋白水平比较(图 2,表 5) LPS 组细胞质中 NF-κB p65 蛋白显著减少,细胞核中则明显增多,与空白组比较差异有统计学意义(P < 0.05)。150 μg/mL 芒果苷预处理细胞后,LPS 诱导的 NF-κB p65 入核减少,细胞质中NF-κB p65 蛋白表达增多,与LPS 组比较差异有统计学意义(P < 0.05)。



注:A 为细胞质蛋白电泳;B 为细胞核蛋白电泳;1 为空白组;2 为 LPS组;3 为 LPS + 150 μ g/mL 芒果苷组

图 2 各组细胞质、细胞核中 NF-кВ p65 蛋白表达水平

表 5 各组细胞质、细胞核中 NF-κB p65 蛋白 表达水平比较 $(\bar{x}\pm s)$

组别		NF-κB p65		
组別	n	细胞质	细胞核	
空白	3	1.05 ±0.04	1.01 ±0.04	
LPS	3	0.50 ± 0.04 *	1.83 ± 0.06 *	
LPS +150 μg/mL 芒果苷	3	$0.79\pm0.05^{\triangle}$	1.24 \pm 0.12 $^{\triangle}$	

注:与空白组比较,*P<0.05;与 LPS 组比较,△P<0.05

讨 论

炎症在多种病理过程中发挥着重要作用。芒果苷具有显著的抗炎效果,对呼吸系统炎症^[13]、心血管炎症^[14]、肠道炎症^[15]等具有良好的效果。目前对芒果苷的抗炎作用研究多集中在药效学上,对其作用机制的研究尚欠缺。巨噬细胞是介导炎症反应的主要细胞,正常情况下,巨噬细胞处于静息状态,在 LPS 等刺激后,巨噬细胞被激活,能够分泌多种炎症介质,从而建立炎症细胞模型。LPS 来源于革兰氏阴性菌细胞壁中,具有很强的生物毒性。在体外用 LPS 诱导的炎症细胞模型中,巨噬细胞会产生大量的前炎症因子如

IL-1 β 、IL-6 及 TNF- α 等和炎症介质如 NO、PGE₂ 及 ROS 等。其中有些炎症因子如 IL-1 β 及 TNF- α 又可反馈调节巨噬细胞,促使细胞产生更多的炎症介质及细胞因子,加剧炎症反应。NO 和 PGE₂ 是两种重要的炎症介质。研究显示,在 LPS 刺激下,巨噬细胞产生的 NO 及 PGE₂主要由 iNOS 和 COX-2 诱导产生,iN-OS 和 COX-2 通过调节 NO 及 PGE₂在炎性反应过程中发挥着举足轻重的作用^[16]。本研究结果显示,LPS能显著诱导 RAW264.7 细胞表达炎性细胞因子(IL-1 β 、IL-6 及 TNF- α)、产生次级炎症介质的酶(iNOS 及 COX-2) 及次级炎症介质 NO。芒果苷对 LPS 诱导的炎症介质,细胞因子及相关酶有很好的抑制作用。

NF-κB 是一种重要的核转录因子^[17],参与机体免疫调节、炎症反应等多种生理过程。NF-κB 与 lκB、IKK 是 NF-κB 信号通路的主要分子。静息状态的NF-κB 与 lκB 形成复合物,存在于细胞浆中。当细胞被激活后,IKK 促进 lκB 磷酸化并与 NF-κB 解离,释放出 NF-κB,游离的 NF-κB 由细胞质进入细胞核中,与靶 DNA 结合,促进下游基因的表达^[18]。本研究结果显示,芒果苷能显著抑制 LPS 诱导的 NF-κB p65细胞核移位,进而抑制 NF-κB 活性。NF-κB 抑制剂BAY 11-7082 也具有类似的活性。

据报道,参与炎症反应各阶段的许多分子都受 NF-κB 的调控,包括促炎因子如 IL-1β、IL-6 及 TNF-α、趋化因子、黏附因子及产生次级炎症介质的酶如 COX-2 和 iNOS^[19-21]。这提示,芒果苷可能通过抑制 NF-κB 信号通路活性,进而抑制促炎因子、相关酶及其靶分子的表达,发挥抗炎作用。

利益冲突:无。

参 考 文 献

- [1] 董漪竹,吴植强.芒果苷镇咳、祛痰、平喘作用的实验研究[J].中国中医药科技,2017,24(2):171-176.
- [2] 黄云, 胡文姬, 李学坚, 等. 芒果苷近 10 年研究进展 [J]. 中药药理与临床, 2015, 31 (1): 269 274.
- [3] 王志萍, 邓家刚, 谭珍媛. 芒果苷片体外抑菌杀虫作用的实验研究[J]. 时珍国医国药, 2009, 20(9): 2167-2168.
- [4] 郭宏伟,邓家刚,运晨霞,等.芒果苷抑制哮喘小鼠气道炎症的机制[J].中国实验方剂学杂志,2012,18 (9):187-190.
- [5] 谭之强. 芒果苷通过抑制氧化应激及抗凋亡作用保护大鼠颅脑损伤[J]. 神经损伤与功能重建, 2018, 13(1): 26-28.
- [6] 吴巍, 滕厚雷. 小檗碱与芒果苷及其配伍对 L6 成纤维

- 细胞葡萄糖摄取的影响及机制[J]. 中国药理学通报, 2010, 26(9): 1259 1260.
- [7] Dinh QN, Drummond GR, Sobey CG, et al. Roles of inflammation, oxidative stress, and vascular dysfunction in hypertension[J]. Biomed Res Int, 2014, 2014(1): 406960.
- [8] Lontchi-Yimagou E, Sobngwi E, Matsha TE, et al. Diabetes mellitus and inflammation[J]. Curr Diabetes Rep, 2013, 13(3): 435 -444.
- [9] Hoenerhoff MJ. Inflammation and cancer: Partners in crime[J]. Vet J. 2015. 206(1): 1 2.
- [10] Yang C, Liu P, Wang S, et al. Shikonin exerts anti-inflammatory effects in LPS-induced mastitis by inhibiting NF-κB signaling pathway [J]. Biochem Biophys Res Commun, 2018, 505(1): 1-6.
- [11] Hou J, Gu Y, Zhao S, et al. Anti-inflammatory Effects of Aurantio-Obtusin from seed of *Cassia obtusifolia* L. through modulation of the NF-κB pathway[J]. Molecules, 2018, 23(12): E3093.
- [12] 黄云, 胡文姬, 李学坚, 等. 芒果苷近 10 年研究进展 [J]. 中药药理与临床, 2015, 31(1): 269-274.
- [13] Guo HW, Yun CX, Hou GH, et al. Mangiferin attenuates TH1/TH2 cytokine imbalance in an ovalbumin-induced asthmatic mouse model [J]. PLoS One, 2014, 9(6): e100394.
- [14] Prabhu S, Jainu M, Sabitha KE, et al. Effect of mangiferin on mitochondrial energy production in experimentally induced myocardial infarcted rats [J]. Vascul Pharmacol, 2006, 44(6): 519 525.
- [15] Morais TC, Arruda BR, de Sousa Magalhães H, et al. Mangiferin ameliorates the intestinal inflammatory response and the impaired gastrointestinal motility in mouse model of postoperative ileus [J]. Naunyn Schmiedebergs Arch Pharmacol,

- 2015, 388(5): 531 538.
- [16] Natarajan K, Abraham P, Kota R, et al. NF-κB-iNOS-COX2-TNF-α inflammatory signaling pathway plays an important role in methotrexate induced small intestinal injury in rats [J]. Food Chem Toxicol. 2018. 118(1): 766 783.
- [17] Sang W, Zhong Z, Linghu K, et al. Siegesbeckia pubescens Makino inhibits Pam3CSK4-induced inflammation in RAW 264. 7 macrophages through suppressing TLR1/TLR2-mediated NF-κB activation[J]. Chin Med, 2018, 13(37): 1 10.
- [18] 王晓晨, 吉爱国. NF-κB 信号通路与炎症反应[J]. 生理科学进展, 2014, 45(1): 68-71.
- [19] Kang SR, Han DY, Park KI, et al. Suppressive effect on lipopolysaccharide-induced proinflammatory mediators by *Citrus aurantium* L. in macrophage RAW 264. 7 cells via NF-κB signal pathway[J]. Evid Based Complement Alternat Med, 2011, 2011(1): 1 12.
- [20] Park KI, Kang SR, Park HS, et al. Regulation of proinflammatory mediators via NF-κB and p38 MAPK-dependent mechanisms in RAW 264. 7 macrophages by polyphenol components isolated from Korea *Lonicera japonica* THUNB [J]. Evid Based Complement Alternat Med, 2012, 2012 (1): 1 10.
- [21] Lee MS, Kwon MS, Choi JW, et al. Anti-inflammatory activities of an ethanol extract of *Ecklonia stolonifera* in lipopolysaccharide-stimulated RAW 264.7 murine macrophage cells[J]. J Agric Food Chem, 2012, 60(36): 9120 9129.

(收稿: 2018 - 09 - 01 在线: 2019 - 03 - 07) 责任编辑: 段碧芳 英文责编: 张晶晶

HINTER TO SEE

光陽光開発推置探答

共働計制性性程序



HIBHITE K. F.